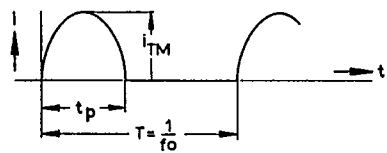


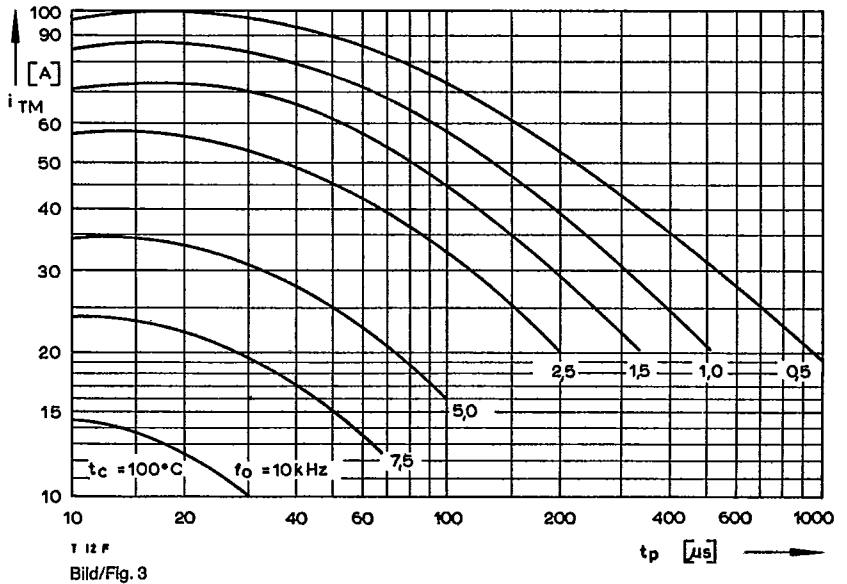
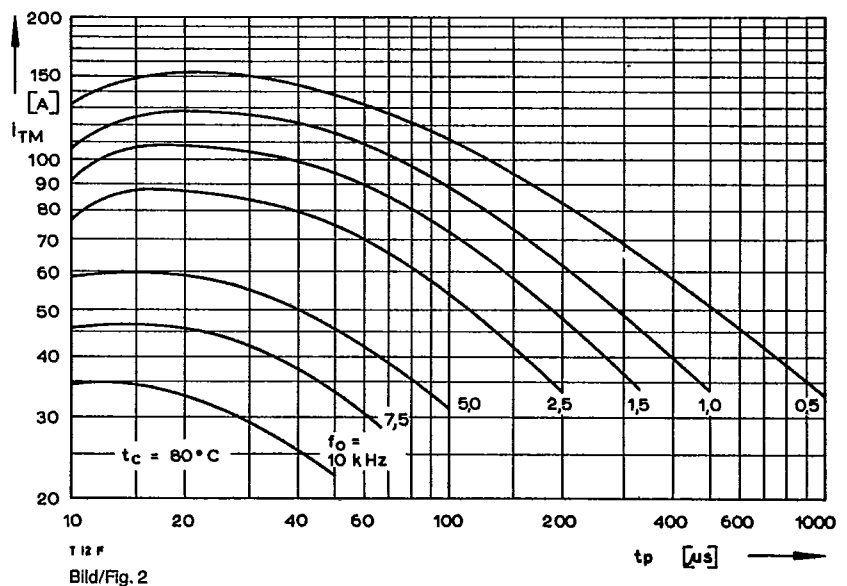
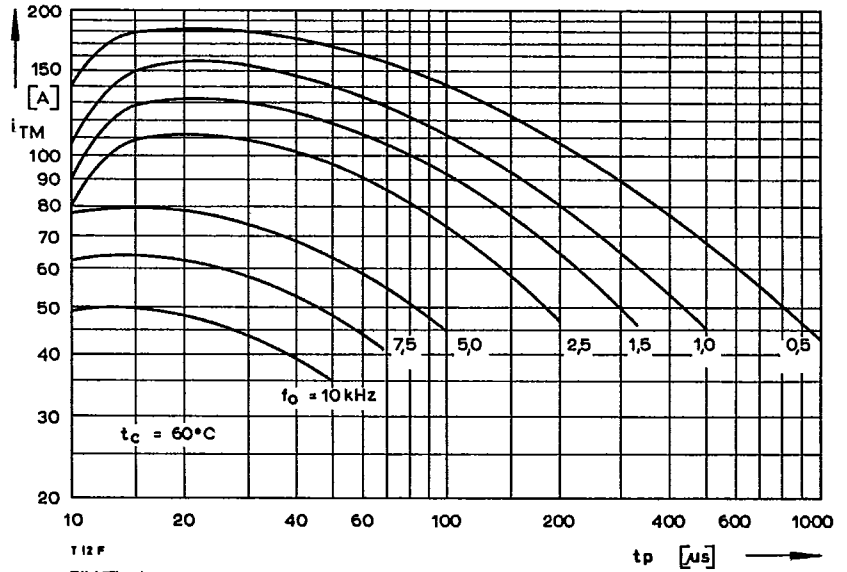
T 12 F

Bilder 1, 2, 3
 Höchstzulässige Strombelastbarkeit in Abhängigkeit von der Halbschwingungsdauer bei:
 sinusförmigem Stromverlauf,
 der angegebenen Gehäusetemperatur t_c ,
 Vorwärts-Sperrspannung $U_{DM} \leq 0,67 U_{DRM}$,
 Spannungssteilheit du_o/dt gemäß 5. Kennbuchstaben,
 Rückwärts-Sperrspannung $U_{RM} \leq 50$ V,
 Rückwärts-Spannungssteilheit $du_r/dt \leq 100$ V/ μ s oder Betrieb mit antiparalleler schneller Diode,
 Freiwerdezeit t_q gemäß 4. Kennbuchstaben,
 Steuergenerator: $U_L = 8$ V, $I_G = 0,2$ A, $t_a = 1$ μ s,
 RC-Glied: $R [\Omega] \geq 0,05 U_{DM}$ [V], $C \leq 0,068$ μ F



Parameter: Wiederholfrequenz f_0 [kHz]
 Repetition rate f_0 [kHz]

Fig. 1, 2, 3
 Maximum allowable current load versus halfwave duration at:
 sinusoidal current waveform,
 given case temperature t_c ,
 forward off-state voltage $U_{DM} \leq 0,67 U_{DRM}$,
 rate of rise of forward voltage du_o/dt according to 5th code letter,
 reverse voltage $U_{RM} \leq 50$ V,
 rate of rise of reverse voltage $du_r/dt \leq 100$ V/ μ s or operation with Inverse paralleled fast diode,
 circuit commutated turn-off time t_q according to 4th code letter,
 pulse generator: $U_L = 8$ V, $I_G = 0,2$ A, $t_a = 1$ μ s,
 RC network: $R [\Omega] \geq 0,05 U_{DM}$ [V], $C \leq 0,068$ μ F



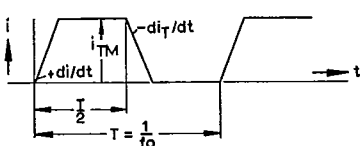
Bilder 4, 5, 6
Höchstzulässige Strombelastbarkeit in Abhängigkeit von der
Stromsteilheit bei:
trapezförmigem Stromverlauf,
der angegebenen Gehäusetemperatur t_c ,
Vorwärts-Sperrspannung $U_{DM} \leq 0,67 U_{DRM}$,
Freiwerdetzeit t_f gemäß 4. Kennbuchstaben,
Spannungssteilheit du_d/dt gemäß 5. Kennbuchstaben,
Steuergenerator: $u_L = 8 \text{ V}$, $I_g = 0,2 \text{ A}$, $t_a = 1 \mu\text{s}$,
RC-Glied: $R [\Omega] \geq 0,05 U_{DM} [\text{V}]$, $C \leq 0,1 \mu\text{F}$

Ausschaltverlustleistung:

- nicht berücksichtigt. Die Kurven gelten für den Betrieb mit antiparalleler schneller Diode oder $du_R/dt \leq 100 \text{ V}/\mu\text{s}$ bei Anstieg auf $U_{RM} \leq 50 \text{ V}$.
- — — berücksichtigt für $du_R/dt = 400 \text{ V}/\mu\text{s}$ bei Anstieg auf $U_{RM} = 0,67 U_{DRM}$.

Anmerkung:

- — — Für den Betrieb im kurzgestrichelten Bereich der Kurven wird die Verwendung zusätzlicher Beschaltungsglieder empfohlen.



Parameter: Wiederholfrequenz f_0 [kHz]
Repetition rate f_0 [kHz]

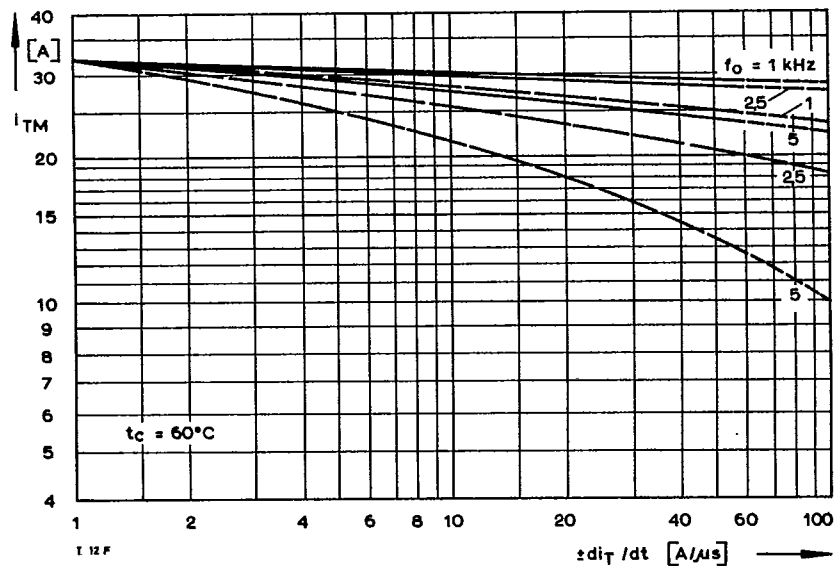
Fig. 4, 5, 6
Maximum allowable current load versus rate of rise of
current at:
trapezoidal current waveform,
given case temperature t_c ,
forward off-state voltage $U_{DM} \leq 0,67 U_{DRM}$,
circuit commutated turn-off time t_f according to 4th code letter,
rate of rise of voltage du_d/dt according to 5th code letter,
pulse generator: $u_L = 8 \text{ V}$, $I_g = 0,2 \text{ A}$, $t_a = 1 \mu\text{s}$,
RC network: $R [\Omega] \geq 0,05 U_{DM} [\text{V}]$, $C \leq 0,1 \mu\text{F}$

Turn-off power loss:

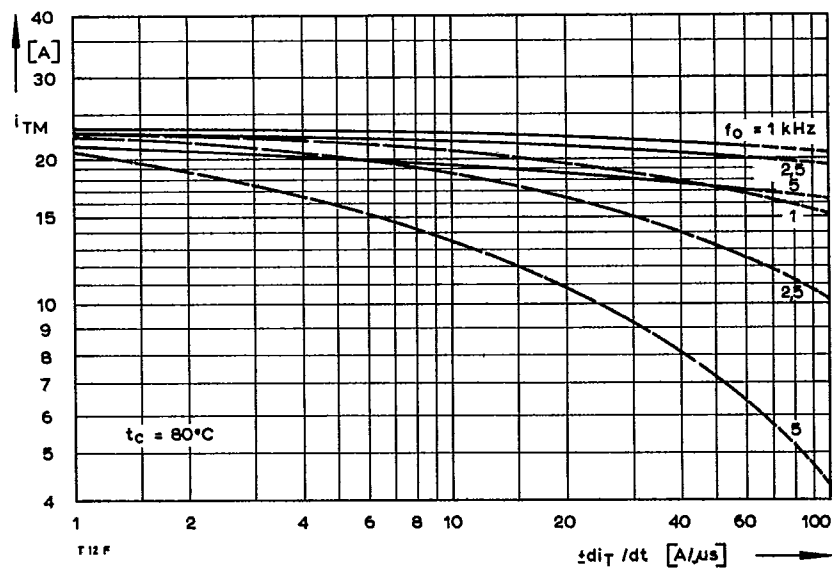
- not taken into account. The curves apply for operation with inverse paralleled fast diode or $du_R/dt \leq 100 \text{ V}/\mu\text{s}$ rising up to $U_{RM} \leq 50 \text{ V}$.
- — — taken into account for $du_R/dt = 400 \text{ V}/\mu\text{s}$ rising up to $U_{RM} = 0,67 U_{DRM}$.

Note:

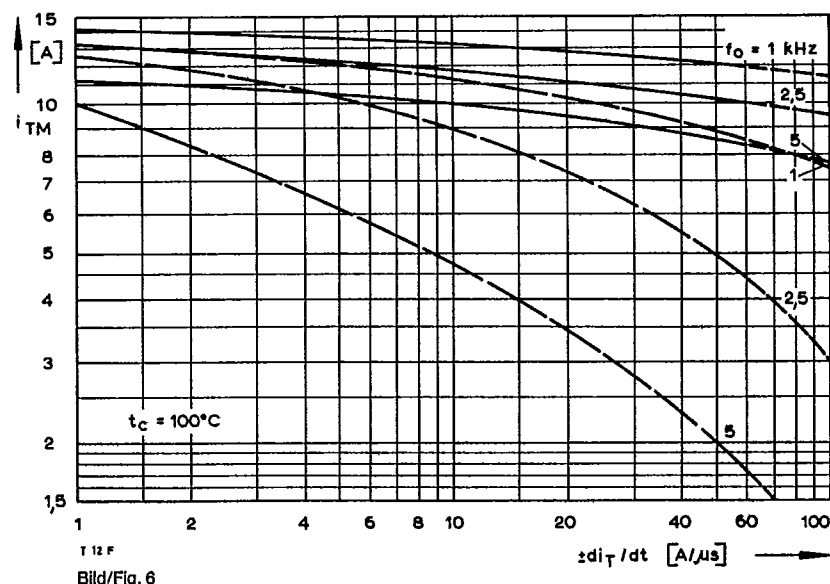
- — — for operation in the fine dashed range of the curves it is recommended to use additional suppression components.



Bild/Fig. 4



Bild/Fig. 5



Bild/Fig. 6

T 12 F

Bild/Fig. 7

Diagramm zur Ermittlung der Summe aus Einschalt- und Durchlaßverlustleistung ($P_{TT} + P_T$).
Diagram for the determination of the sum of the turn-on and forward on-state power loss ($P_{TT} + P_T$).

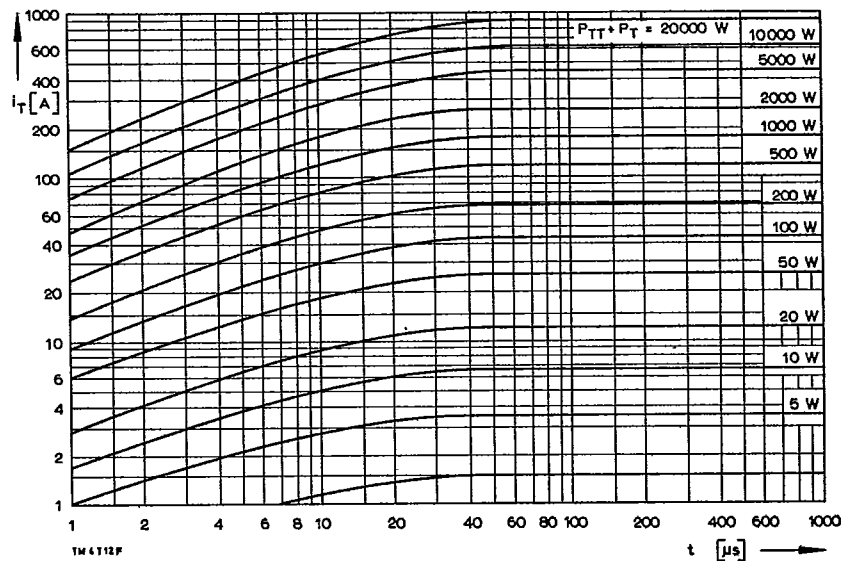


Bild 8

Diagramm zur Ermittlung der Gesamtenergie W_{tot} für einen sinusförmigen Durchlaßstrom-Puls bei:
Vorwärts-Sperrspannung $U_{DM} \leq 0,67 U_{DRM}$,
Rückwärts-Sperrspannung $U_{RM} \leq 50 V$,
Rückwärts-Spannungssteilheit $du_R/dt \leq 100 V/\mu s$,
Steuergenerator: $u_L = 8 V$, $I_G = 0,2 A$, $t_a = 1 \mu s$,
RC-Glied: $R [\Omega] \geq 0,05 U_{DM} [V]$, $C \leq 0,068 \mu F$

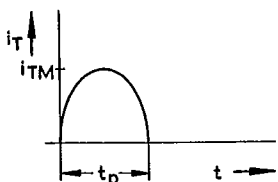
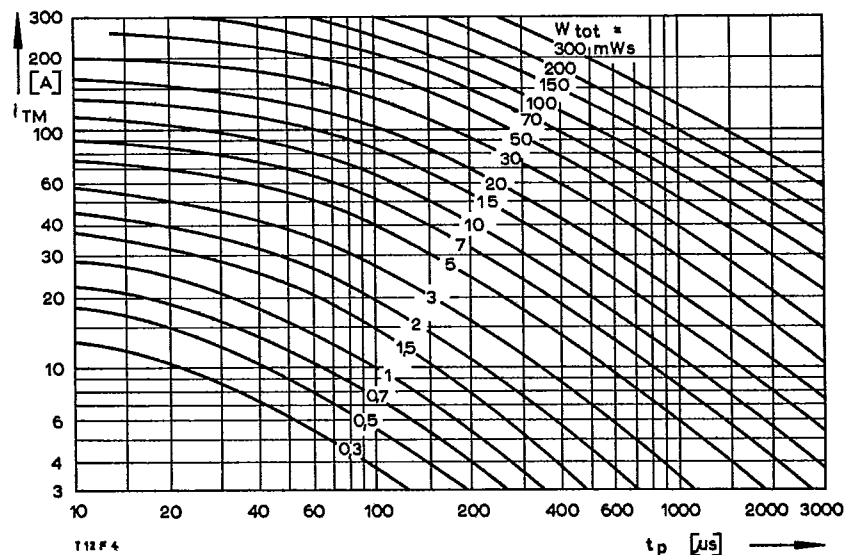
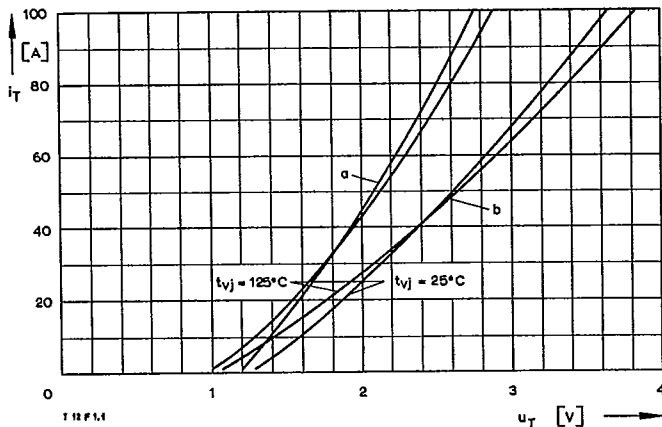


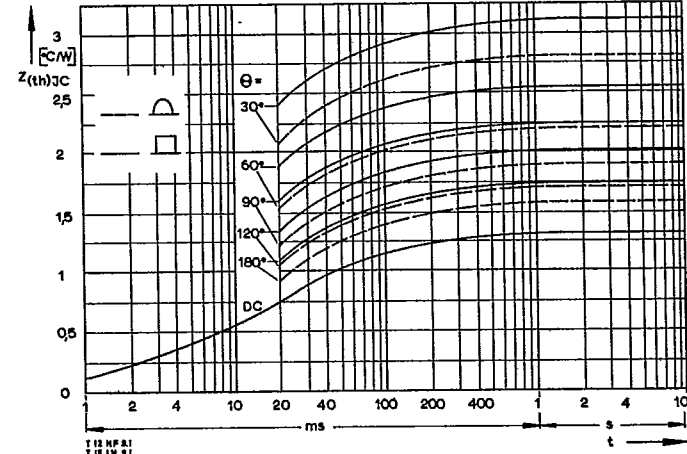
Fig. 8

Diagram for the determination of the total energy W_{tot} for a sinusoidal on-state current pulse at:
forward off-state voltage $U_{DM} \leq 0,67 U_{DRM}$,
reverse voltage $U_{RM} \leq 50 V$,
rate of rise of reverse voltage $du_R/dt \leq 100 V/\mu s$,
pulse generator: $u_L = 8 V$, $I_G = 0,2 A$, $t_a = 1 \mu s$,
RC network: $R [\Omega] \geq 0,05 U_{DM} [V]$, $C \leq 0,068 \mu F$

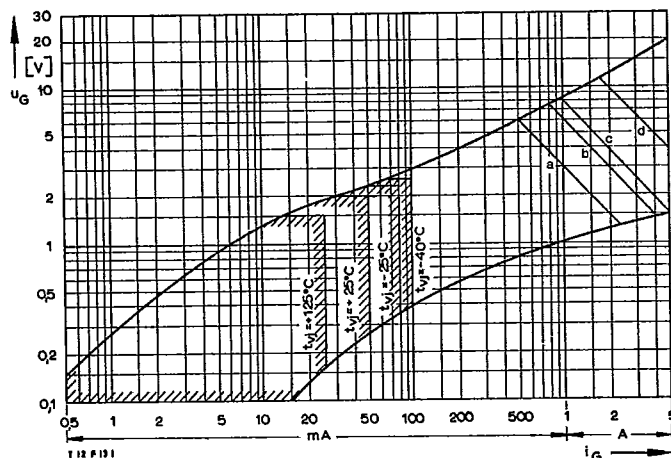




Bild/Fig. 9
Grenzdurchlaßkennlinie bei t_{vj} max
Maximum on-state characteristic at t_{vj} max

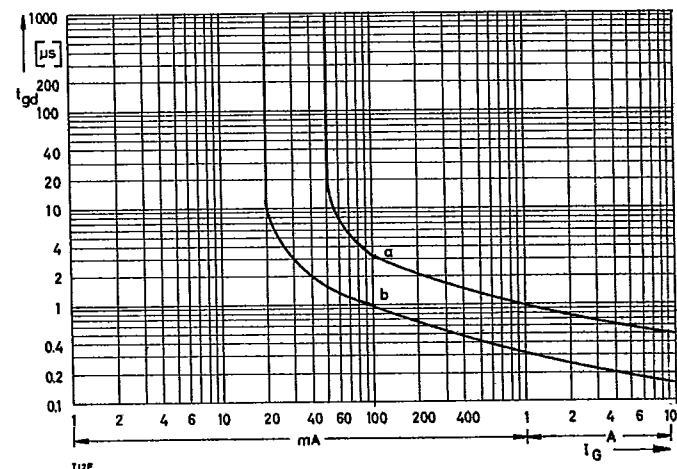


Bild/Fig. 10
Transienter innerer Wärmewiderstand $Z_{(th)JC}$ bei sinus- und trapezförmigem Stromverlauf.
Transient thermal impedance $Z_{(th)JC}$, junction to case at sinusoidal and trapezoidal current waveform.

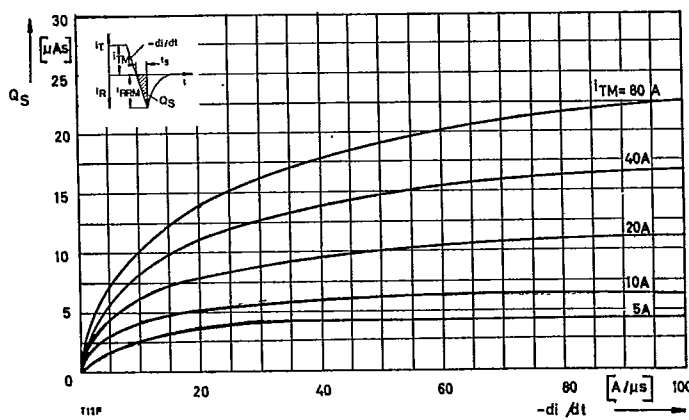


Bild/Fig. 11
Zündbereich und Spitzesteuerleistung bei $u_D \geq 6$ V.
Gate characteristic and peak gate power dissipation at $u_D \geq 6$ V.

Parameter:	a	b	c	d	
Steuerimpulsdauer/Pulse duration t_g	[ms]	10	1	0,5	0,1
Höchstzulässige Spitzesteuerleistung/ Maximum allowable peak gate power	[W]	3	6	8	20



Bild/Fig. 12
Zündverzug t_{gd} bei $i_{TM} = 4$ A, $t_{vj} = 25^\circ\text{C}$.
Gate controlled delay time t_{gd} at $i_{TM} = 4$ A, $t_{vj} = 25^\circ\text{C}$.
a – äußerster Verlauf/limiting characteristic
b – typischer Verlauf/typical characteristic



Bild/Fig. 13
Typische Abhängigkeit der oberen Nachlaufladung Q_S von der abkommunizierenden Stromsteilheit $-di/dt$ bei t_{vj} max.
Typical relationship between the maximum lag charge Q_S and the rate of fall of the on-state current $-di/dt$ at t_{vj} max.